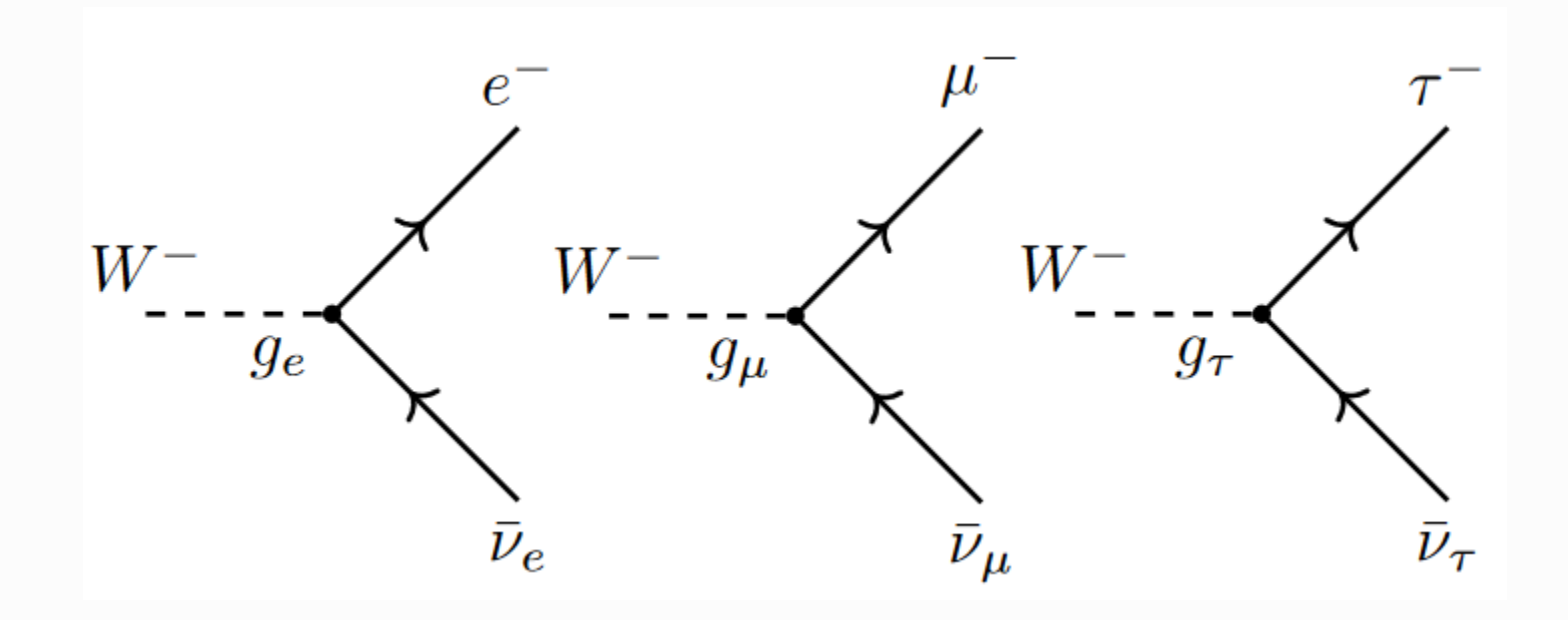
Belle II実験における $B \to D^{(*)} \ell \nu_{\ell}$ 崩壊の レプトン普遍性の検証

松岡広大(名古屋大KMI) 2018年11月1日



レプトンフレーバー普遍性

- ■標準理論では、電弱相互作用において、レプトンと ゲージボゾンの結合はレプトンのフレーバーに依らない
 - 分岐比の違いは質量の違いによる(ヘリシティ抑制・位相空間)

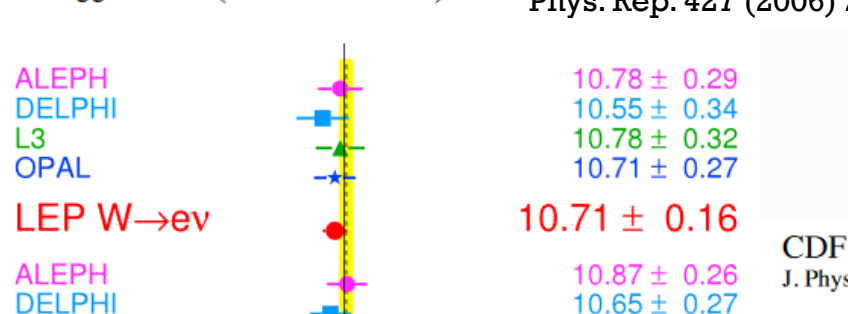


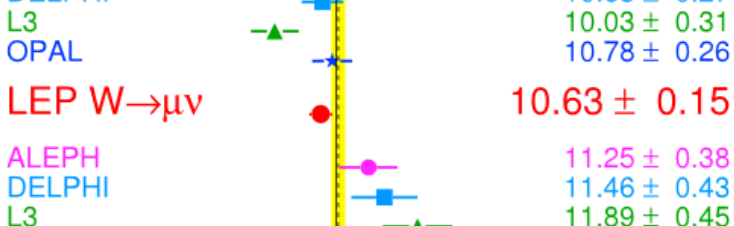
$$g_e = g_\mu = g_\tau$$

W/Zボソンの崩壊

$$\frac{\Gamma_{\mu\mu}}{\Gamma_{ee}} = \frac{B(Z \to \mu^+ \mu^-)}{B(Z \to e^+ e^-)} = 1.0009 \pm 0.0028,$$

$$\frac{\Gamma_{\tau\tau}}{\Gamma_{\text{ee}}} = \frac{B(Z \to \tau^+ \tau^-)}{B(Z \to e^+ e^-)} = 1.0019 \pm 0.0032$$
Phys. Rep. 427 (2006) 257





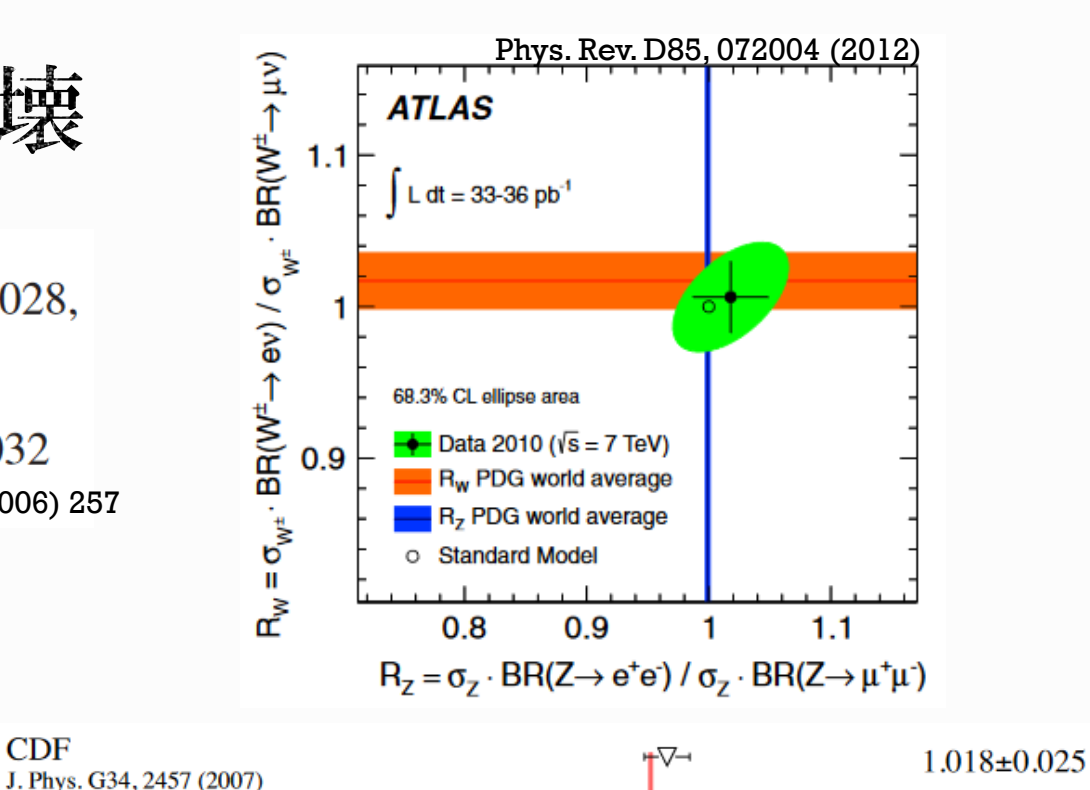
LEP W $\to \tau v$ 11.38 ± 0.21 $\chi^2/\text{ndf} = 6.3 / 9$ 10.86 ± 0.09 $\chi^2/\text{ndf} = 15.4 / 11$

 11.14 ± 0.31

LHCb W

10 11 12 Br(W→lv) [%] Phys. Rep. 532 (2013) 119

OPAL



0.9

 $\mathcal{B}(W \to e\nu)/\mathcal{B}(W \to \mu\nu)$

0.7

0.8

1.014±0.022

JHEP 10 (2016) 030

1.2

レプトンの崩壊

$$\Gamma(\lambda \to \nu_{\lambda} \rho \overline{\nu}_{\rho}(\gamma)) = \frac{B(\lambda \to \nu_{\lambda} \rho \overline{\nu}_{\rho})}{\tau_{\lambda}} = \frac{G_{\lambda} G_{\rho} m_{\lambda}^{5}}{192\pi^{3}} f\left(\frac{m_{\rho}^{2}}{m_{\lambda}^{2}}\right) R_{W}^{\lambda} R_{\gamma}^{\lambda} R_{W}^{\lambda} = 1 + \frac{3}{5} \frac{m_{\lambda}^{2}}{M_{W}^{2}}, \qquad f(x) = 1 - 8x + 8x^{3} - x^{4} - 12x^{2} \ln x$$

Lepton universality(2)

早坂さんのスライド

68

•μ→eνν,τ→μνν,τ→eννの分岐比から

$$\left(rac{g_{ au}}{g_{\mu}}
ight) = 1.0010 \pm 0.0015 \; , \qquad \qquad \left(rac{g_{ au}}{g_{e}}
ight) = 1.0029 \pm 0.0015 \; , \qquad \qquad \left(rac{g_{\mu}}{g_{e}}
ight) = 1.0019 \pm 0.0014 \; .$$

• もしくはτ→πν,τ→Kνの分岐比から

$$\left(\frac{g_{\tau}}{g_{\mu}}\right)^{2} = \frac{B(\tau \to h\nu_{\tau})}{B(h \to \mu\overline{\nu}_{\mu})} \frac{2m_{h}m_{\mu}^{2}\tau_{h}}{(1 + \delta R_{\tau/h})m_{\tau}^{3}\tau_{\tau}} \left(\frac{1 - m_{\mu}^{2}/m_{h}^{2}}{1 - m_{h}^{2}/m_{\tau}^{2}}\right)^{2} \frac{\delta R_{\tau/\pi} = (0.16 \pm 0.12)\%}{\delta R_{\tau/K} = (0.90 \pm 0.22)\%}$$

$$\left(\frac{g_{\tau}}{g_{\mu}}\right)_{\pi} = 0.9961 \pm 0.0027$$
 $\left(\frac{g_{\tau}}{g_{\mu}}\right)_{K} = 0.9860 \pm 0.0070$

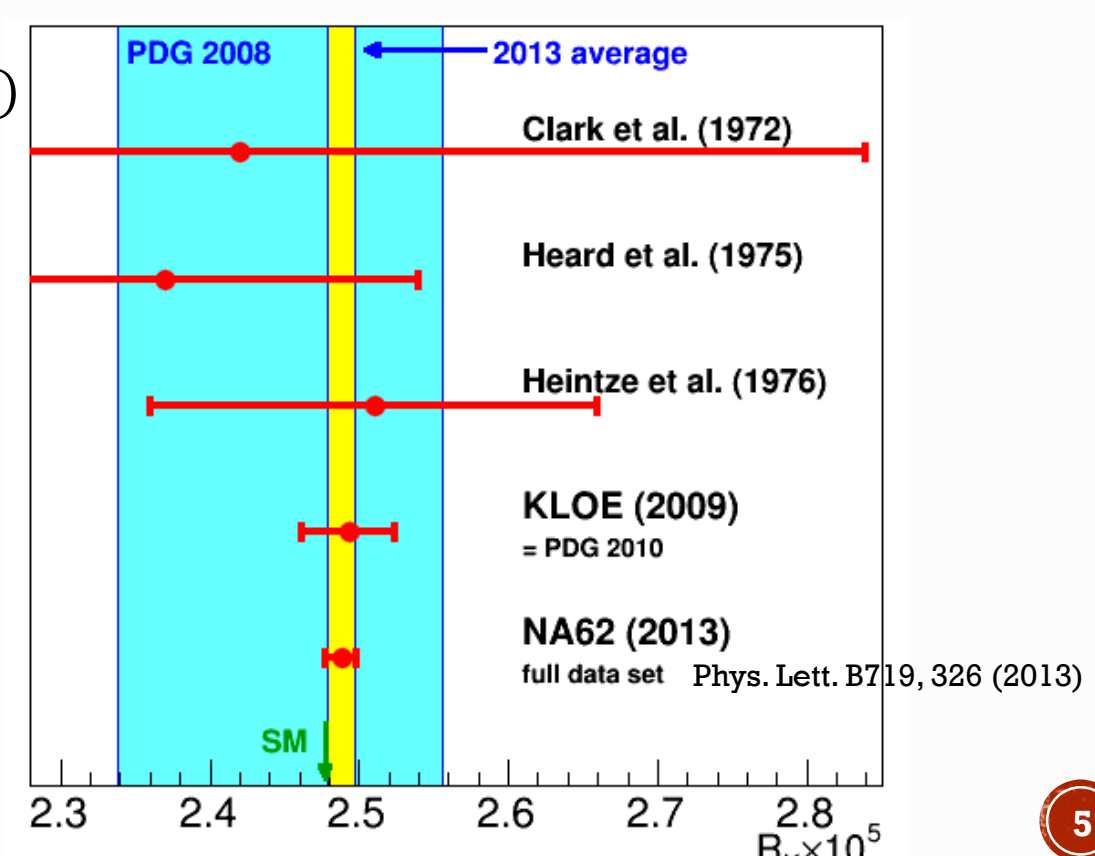
どこまで1に近づけるか?

軽い中間子の崩壊

PIENU実験 Phys. Rev. Lett. 115, 071801 (2015)

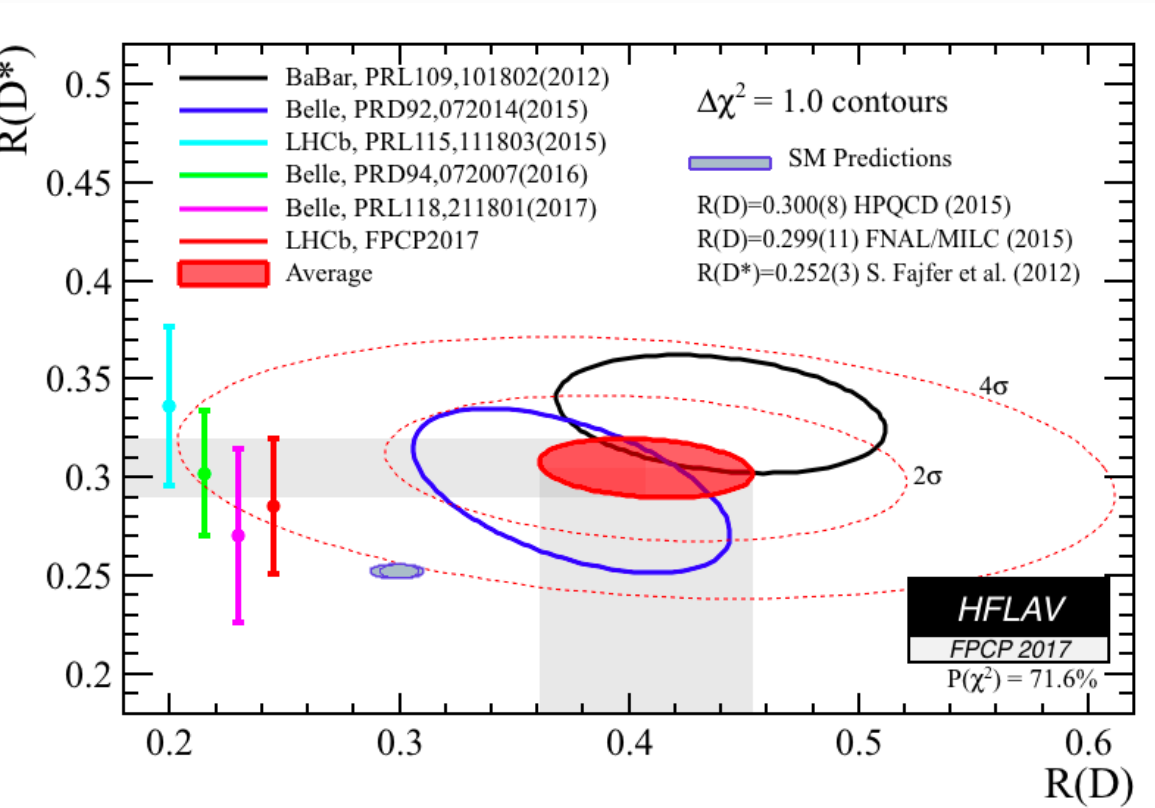
$$\begin{split} R_{e/\mu} &= \Gamma(\pi \to e \nu(\gamma)) / \Gamma(\pi \to \mu \nu(\gamma)) \\ R_{e/\mu}^{\rm exp} &= (1.2344 \pm 0.0023({\rm stat}) \pm 0.0019({\rm syst})) \times 10^{-4} \\ R_{e/\mu}^{\rm SM} &= (1.2352 \pm 0.0002) \times 10^{-4} \end{split}$$

$$R_K = \Gamma(K \to e\nu)/\Gamma(K \to \mu\nu)$$

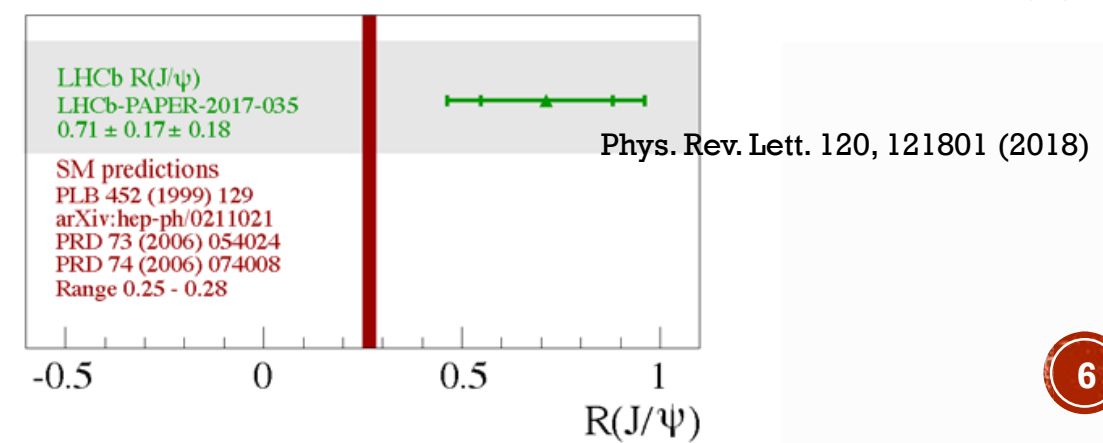


B中間子のツリー崩壊($b \rightarrow c \ell \nu$)

$$R(D^{(*)}) = \frac{\Gamma(B \to D^{(*)}\tau\nu)}{\Gamma(B \to D^{(*)}\ell\nu)}$$

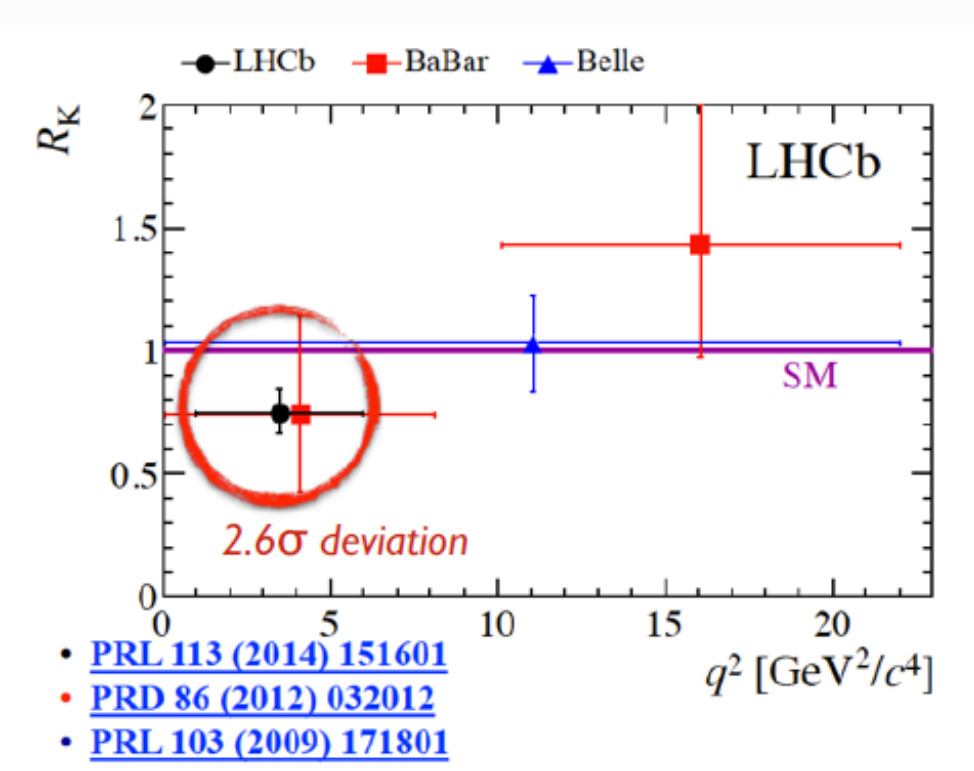


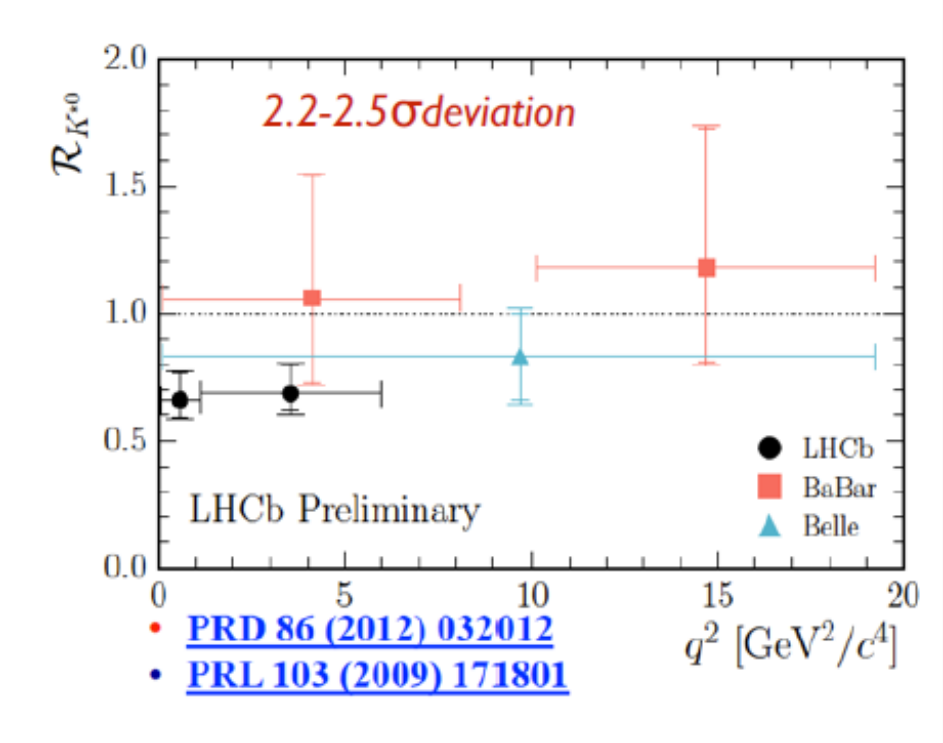
$$R(J/\Psi) = \frac{\Gamma(B_c \to J/\Psi \tau \nu)}{\Gamma(B_c \to J/\Psi \mu \nu)}$$



B中間子のペンギン崩壊 $(b \rightarrow s\ell\ell)$

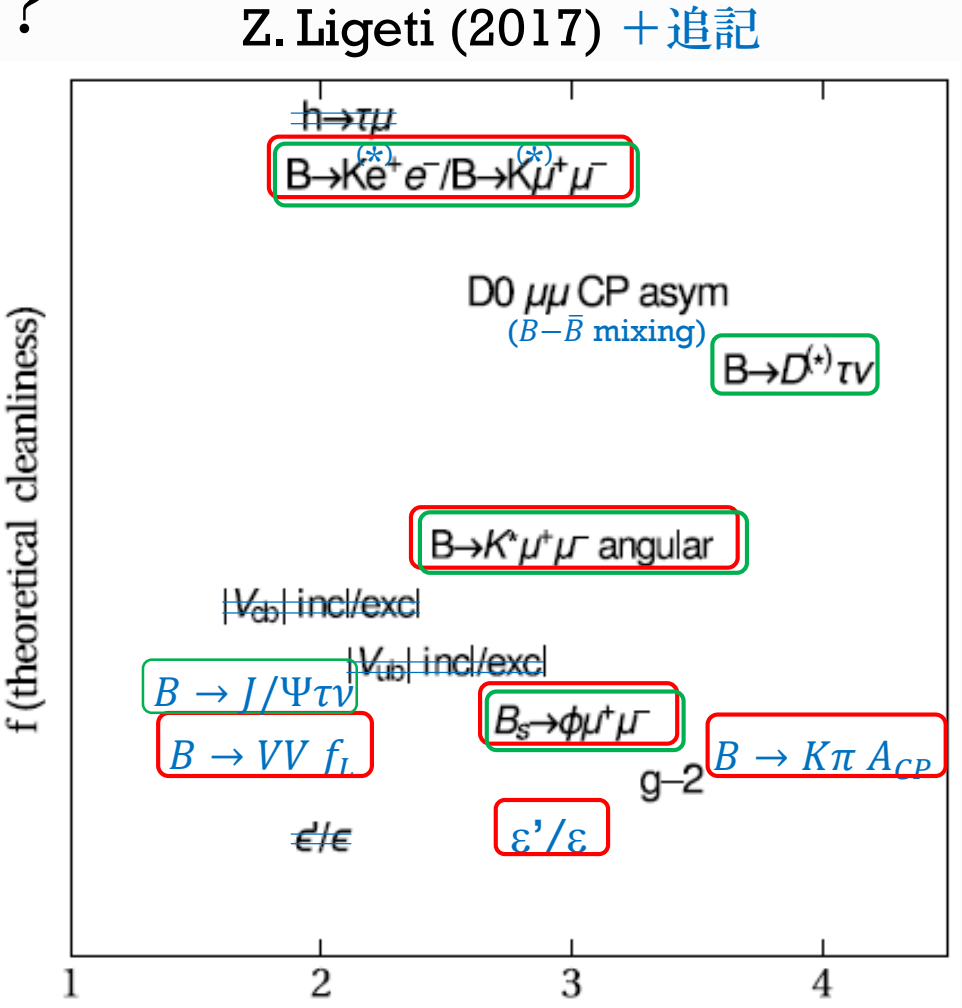
$$R(K^{(*)}) = \Gamma(B \to K^{(*)}\mu\mu)/\Gamma(B \to K^{(*)}ee)$$





フレーバー物理における新物理の兆候?

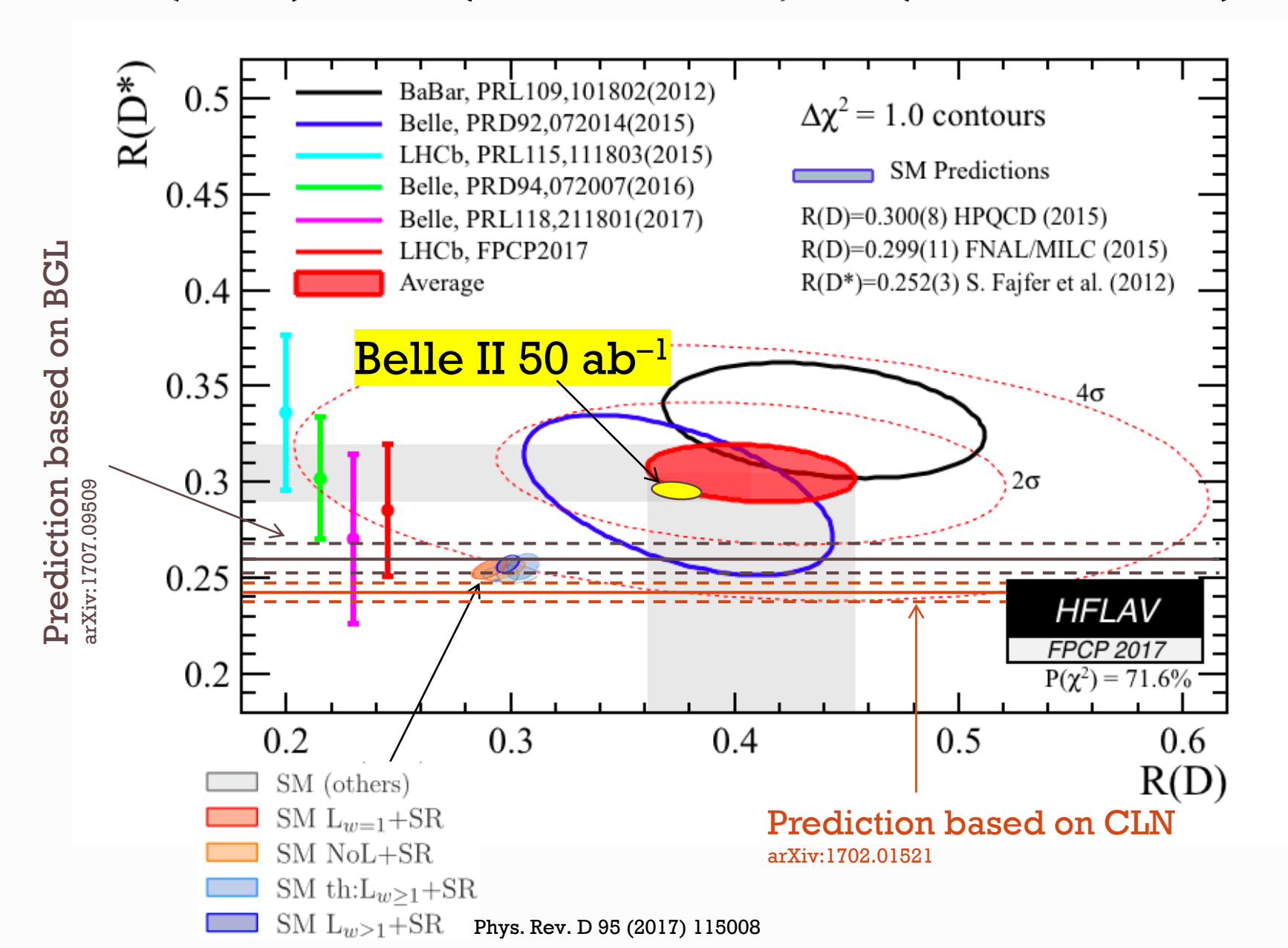
- ■標準理論の理解が足りない?
 - 特に低エネルギーQCD
- 測定エラー?
- ■新物理の兆候?
 - 電弱ペンギン
 - レプトンフレーバー普遍性



significance (σ)

本当にズレているのか、Belle IIで決着を付ける

$R(D^{(*)}) = \mathcal{B}(B \to D^{(*)}\tau\nu)/\mathcal{B}(B \to D^{(*)}\ell\nu)$



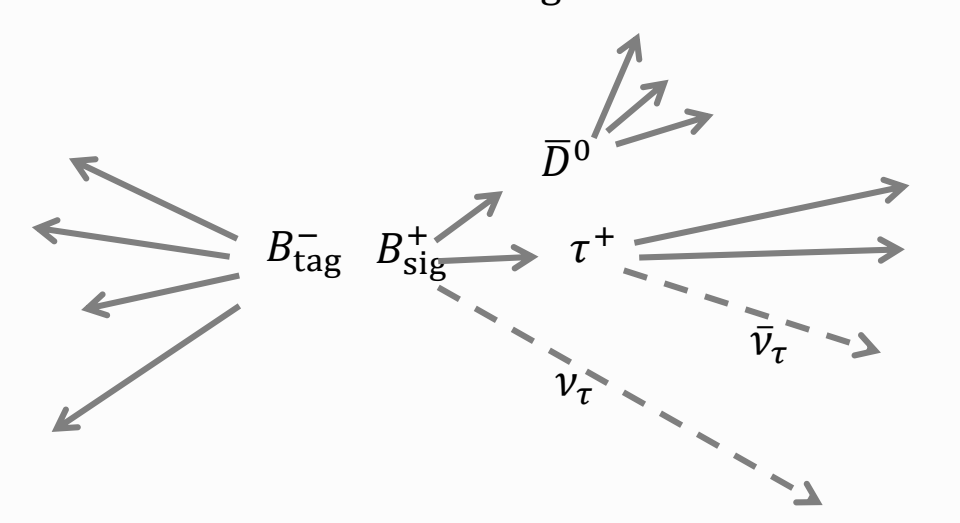
$B \to D^{(*)} \tau \nu$ の再構成

- ■複数のニュートリノを伴うため再構成が難しい
 - 背景事象削減のため、信号の崩壊をする B_{sig} とは別の B_{tag} も再構成して、 B_{sig} の電荷、フレーバー、運動量に制限をかける
 - Efficiencyが非常に悪いので大統計が必要

B_{tag}の再構成

Belle IIでの最初のターゲット

- 1. ハドロニック ($\varepsilon_{\text{sig}} \approx 0.2\%$ 、低背景事象)
- 2. セミレプトニック ($\varepsilon_{\text{sig}} \approx 0.5\%$)
- 3. インクルーシブ (ε_{sig} ≈ 数% 、高背景事象)



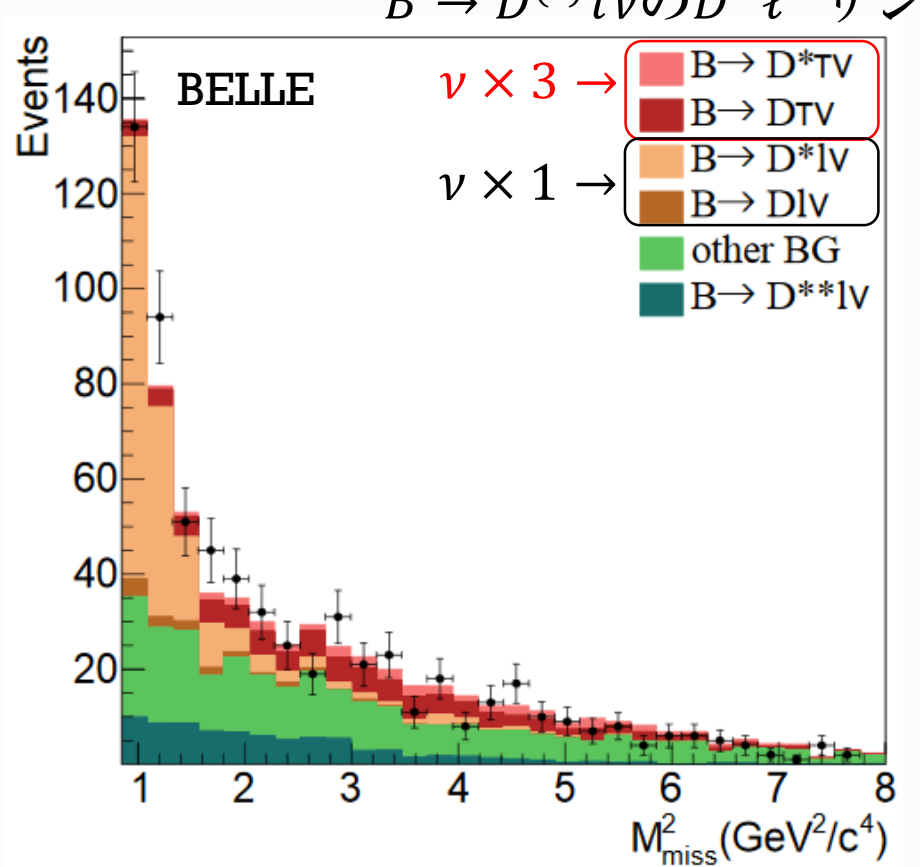
Bsigの選別

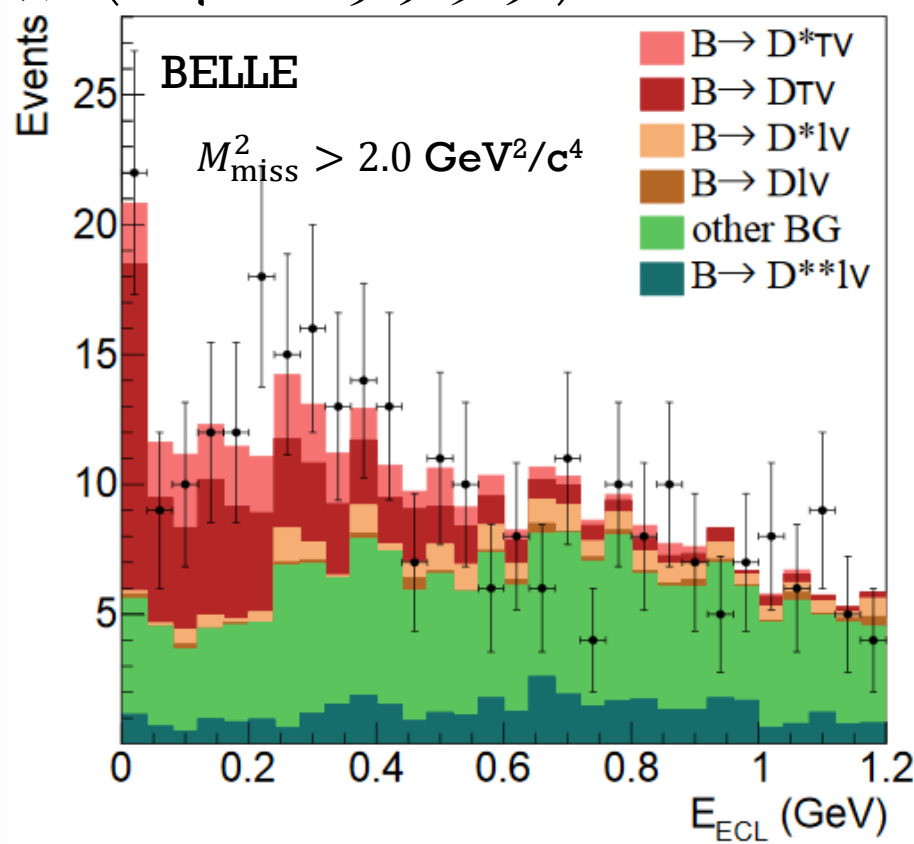
- D(*)が1つ
- τからの荷電粒子1つ
 - 1. τのレプトニック崩壊
 - 2. τのハドロニック崩壊

信号/背景事象の分離

$$M_{\text{miss}}^2 = |p_{e^+e^-} - p_{\text{tag}} - p_{\text{sig}}^{\text{detected}}|$$
(4元運動量保存)

 E_{ECL} : 再構成に使われなかった \mathbf{ECL} エネルギーの余り





Belle IIでの課題

$$D^{**} \to D^{(*)}\pi(\pi), D^{(*)}\eta, D^{(*)}\rho$$

 $m(D^{**}) - m(D^*) \approx 400 \text{ MeV}$

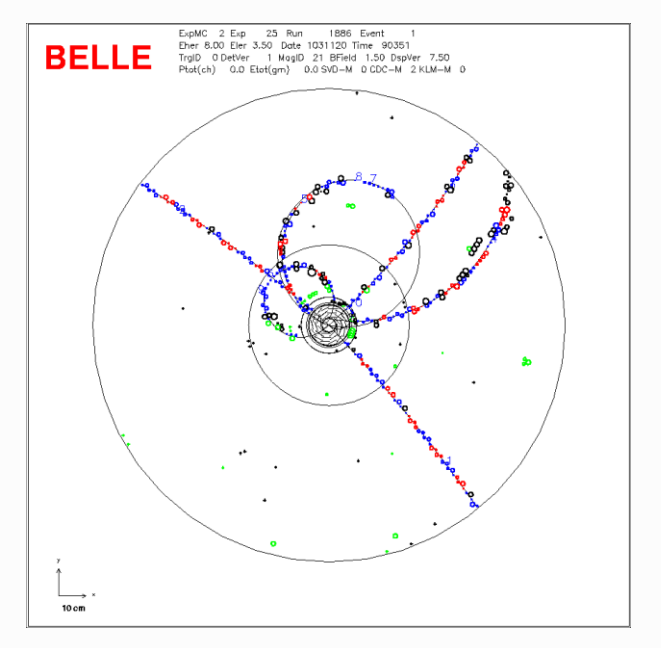
Mode	BF (%)	Mode	BF~(%)
$D^{*0} \to D^0 \pi^0$	64.7	$D^{*+} \to D^0 \pi^+$	67.7
$D^{*0} \to D^0 \gamma$	35.3	$D^{*+} \to D^+ \pi^0$	30.7

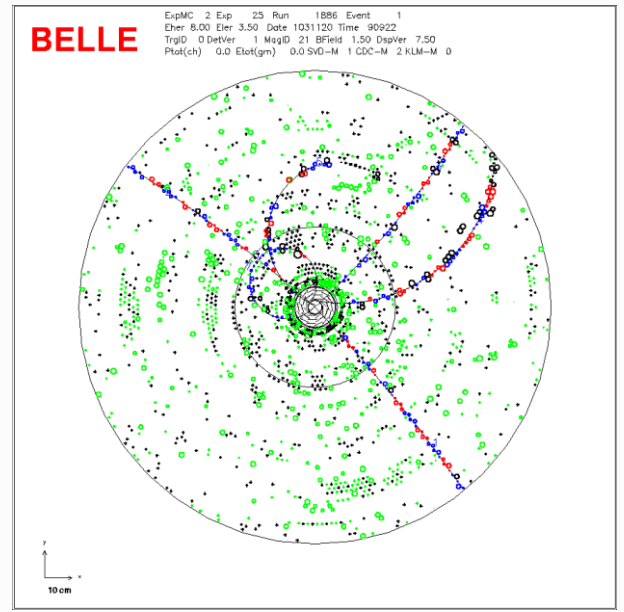
 $m(D^*) - m(D) \approx 140 \text{ MeV}$

- 加速器ビームバックグラウンドが多いと
 - → 低運動量荷電粒子のトラッキング効率の低下
 - → γの検出効率・エネルギー分解能の低下



D**背景事象の増加





新物理発見の(個人的な)シナリオ

- 2020年(~1 ab⁻¹) Belle IIで最初のR(D*)測定結果
- 2021年(~5 ab⁻¹) $R(D^{(*)})$ のズレが確定

・・・ツリーでレプトン普遍性の破れ

• 2023年(~20 ab⁻¹) b → sττの発見

・・・ペンギンでもレプトン普遍性の破れ

■ 2025年(~50 ab⁻¹)

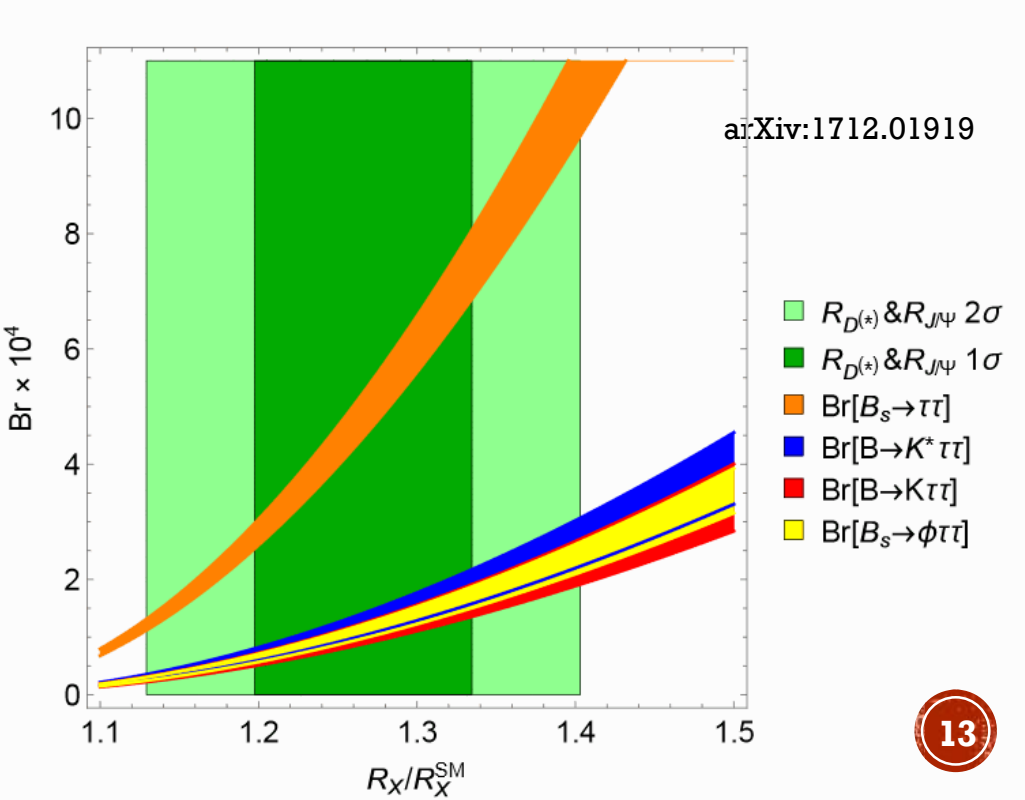
$$R_{\text{pl}} = \frac{\Gamma(B \to \tau \nu)}{\Gamma(B \to \mu \nu)} \mathcal{T} \mathcal{J} \mathcal{J} \mathcal{H} \mathcal{L}$$

$$\mathcal{B}(B^- \to \mu^- \bar{\nu}_{\mu})$$

$$= \frac{G_F^2 m_B m_{\mu}^2}{8\pi} \left(1 - \frac{m_{\mu}^2}{m_B^2}\right)^2 f_B^2 |V_{ub}|^2 \tau_B \overset{5}{\approx} \overset{6}{\approx}$$

 $P_{\tau}(D^*)$ の測定

…新物理の描像を明らかに



展望

